



OFICINA ESPAÑOLA DE PATENTES Y MARCAS

ESPAÑA



11) Número de publicación: 2 530 292

(21) Número de solicitud: 201400935

(51) Int. Cl.:

C12N 15/80 (2006.01) C12Q 1/25 (2006.01)

(12)

PATENTE DE INVENCIÓN CON EXAMEN PREVIO

B2

(22) Fecha de presentación:

21.11.2014

(43) Fecha de publicación de la solicitud:

27.02.2015

Fecha de la concesión:

01.09.2015

(45) Fecha de publicación de la concesión:

08.09.2015

(73) Titular/es:

UNIVERSIDAD COMPLUTENSE DE MADRID (100.0%) Avenida de Séneca, 2 28040 Madrid (Madrid) ES

(72) Inventor/es:

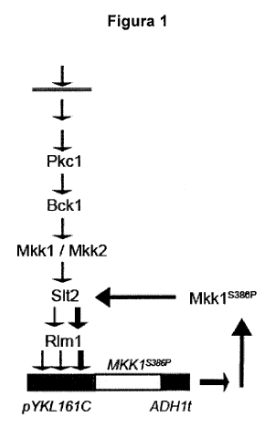
MARTÍN BRIEVA, Humberto; ALONSO RODRÍGUEZ, Esmeralda; NOMBELA CANO, César y **MOLINA MARTÍN, María**

(54) Título: Construcción génica y métodos para detectar compuestos antifúngicos y antitumorales

(57) Resumen:

Construcción génica y métodos para detectar compuestos antifúngicos y antitumorales.

La presente invención se refiere a una construcción génica para la amplificación de la respuesta a señales que activan la ruta de integridad celular (CWI) en Saccharomyces cerevisiae. Comprende un alelo hiperactivo de la MAPKK de esta ruta, bajo el control del promotor de un gen inducible por RIm1, que implica la creación de un circuito de retroalimentación positiva cuya estimulación conduce a la muerte celular. La invención también se refiere a los métodos para detectar agentes que alteren la pared celular o la función de componentes de la propia ruta, lo que permite la detección de compuestos farmacológicos antifúngicos y/o antitumorales.



DESCRIPCIÓN

Construcción génica y métodos para detectar compuestos antifúngicos y antitumorales

5 Sector de la Técnica

La presente invención se encuadra en el sector de la industria farmacéuticabiotecnológica y, más concretamente, en programas de cribado farmacológico para búsqueda de compuestos con actividad antifúngica o modificadora de la señalización mediada por MAPKs (*Mitogen Activated Protein Kinases*).

10

15

20

25

Estado de la técnica:

La epidemiología de la infección fúngica invasiva (IFI) ha cambiado en los últimos 20 años, por lo que hoy día las micosis se consideran enfermedades emergentes. Su incidencia ha aumentado significativamente y la población de riesgo se ha extendido incluyendo a pacientes con diferentes enfermedades de base tales como los que padecen un cáncer hematológico, los ingresados en unidades de cuidados intensivos, los trasplantados de órgano sólido o aquellos que reciben altas dosis de corticosteroides u otros inmunosupresores (García-Vidal et al., 2013. Pathogenesis of invasive fungal infections. Curr. Opin. Infect. Dis. 26, 270-276). Además, este aumento se ha observado también en otras poblaciones de pacientes mucho más numerosas como son los que sufren enfermedad pulmonar obstructiva crónica. También es relevante el hecho de que la etiología de las micosis invasivas está cambiando. Además de Candida albicans y Aspergillus fumigatus, se están identificando como agentes causales de IFI otras especies como Candida glabrata, Aspergillus terreus, Trichosporon asahii, Fusarium spp, Scedosporium spp, Mucorales y dematiaceos. Todas estas especies emergentes tienen la característica común de ser mucho más resistentes a los antifúngicos que C. albicans y A. fumigatus, lo que aumenta la mortalidad ya de por sí elevada.

30

El número actual de antifúngicos efectivos es relativamente reducido y, contrariamente a lo que se podía esperar por analogía con lo que ocurre en el

5

10

15

20

25

30

caso de los fármacos antibacterianos que actúan sobre la pared celular, sólo se ha comercializado hasta el momento un tipo de compuestos antifúngicos que actúan sobre esta diana, inhibiendo la síntesis de β-glucano: las equinocandinas (Drew et al., 2013. Recent advances in the treatment of lifethreatening, invasive fungal infections. Expert. Opin. Pharmacother. 14, 2361-2374). Una de las razones de la escasez de fármacos antifúngicos de este tipo probablemente sea el limitado número de procedimientos de rastreo específicos dirigidos a esta diana, frente a la estrategia clásica de buscar inhibidores del crecimiento fúngico de una forma general. Se han propuesto algunas metodologías enfocadas a la búsqueda de antifúngicos que específicamente actúen sobre la pared celular, como son la búsqueda de compuestos inhibidores de GTPasas fúngicas que regulan el proceso de mantenimiento de la integridad de la pared celular (EP0892854B1), compuestos que puedan inhibir manosil-transferasas (N u O-glicosilaciones). que son enzimas ausentes en células de mamíferos y esenciales para el mantenimiento de la pared celular fúngica (US6153376A), o bien inhibidores específicos del producto de genes relacionados con esta estructura y que son esenciales para la viabilidad fúngica como CaKRE5, CaALR1 o CaCdc24 (WO0068420A2). Se han propuesto también estrategias orientadas a la valoración de la expresión de genes indicadores de la actividad de la vía de la glucán-sintasa, como son los genes SKM1, YPS3, YKL161C (MLP1), MET10, etc. (WO2004057033A1). Asimismo, se ha propuesto una metodología para identificar compuestos que alteren la pared celular mediante la valoración de la expresión del promotor de uno de estos genes, MLP1, en virtud de que su expresión está regulada por la ruta de integridad de la pared celular (CWI, Cell Wall Integrity) de forma dependiente del factor de transcripción Rlm1, de manera que cuando se induce la ruta, consecuencia de una alteración significativa de la pared celular, este es el gen cuya expresión más se induce. La fusión de dicho promotor al gen de resistencia al antibiótico nurseotricina permite detectar la inducción de la ruta en función de la resistencia de la levadura a dicho antibiótico (ES2303452B1).

Otra de las razones que podrían explicar el bajo número de inhibidores de la biogénesis de la pared celular fúngica identificados hasta el momento, podría ser precisamente la existencia del eficaz mecanismo de salvamento inducido por la ruta CWI ante condiciones que hacen peligrar a esta estructura.

5

10

15

20

25

Todo tipo de células, desde las procarióticas más elementales hasta las eucarióticas más complejas, utilizan rutas de transducción de señales para reconocer el ambiente que las rodea y adaptarse a él, así como para comunicarse con otras células. De especial relevancia en organismos eucariotas son las rutas en las que intervienen MAPKs (*Mitogen Activated Protein Kinases*). Estas proteín quinasas regulan procesos esenciales como son la expresión génica o la traducción, estabilidad y localización de proteínas. No es de extrañar, por tanto, que las MAPKs jueguen un papel esencial en procesos como la embriogénesis, la proliferación y diferenciación celular, la apoptosis, la respuesta a estrés, la movilidad celular, la homeostasis metabólica, la inmunidad o la función cardiaca, o que las anormalidades en señalización por MAPKs se asocien con enfermedades humanas como la obesidad, diabetes, desórdenes neurodegenerativos, artritis reumatoide o cáncer (Kim and Choi, 2010. Pathological roles of MAPK signaling pathways in human diseases. Biochim. Biophys. Acta. *1802*, 396-405).

Estas rutas, conservadas evolutivamente en eucariotas, comparten una cascada de tres proteín quinasas: una MAPK quinasa quinasa (MKKK o MEKK), una MAPK kinasa (MKK o MEK) y la propia MAPK, que se fosforilan y activan sucesivamente en condiciones de estimulación. Una vez activadas, las MAPKs fosforilan a su vez a proteínas efectoras, por ejemplo, factores de transcripción, regulando de esta manera la expresión génica (Yang et al., 2013. MAP kinase signalling cascades and transcriptional regulation. Gene 513, 1-

30

13).

En la levadura Saccharomyces cerevisiae, un organismo unicelular eucariótico, operan 5 MAPKs: Fus3, Kss1, Hog1, Smk1 y Slt2, que definen 5 rutas que

regulan el apareamiento, el crecimiento filamentoso, la respuesta a condiciones de estrés osmótico, la formación de las esporas y la integridad celular, respectivamente (Chen and Thorner, 2007. Function and regulation in MAPK signaling pathways: Lessons learned from the yeast Saccharomyces cerevisiae. Biochim. Biophys. Acta. 1773, 1311-1340). En respuesta a una agresión a la pared celular de S. cerevisiae, una estructura esencial que la protege y da forma, se produce la estimulación de la ruta mediada por la MAPK Slt2, denominada ruta de integridad de la pared celular (CWI; revisado por Levin en 2005 - Levin, D.E., 2005. Cell wall integrity signaling in Saccharomyces cerevisiae. Microbiol. Mol. Biol. Rev. 69, 262-291-). La activación de esta ruta dispara un mecanismo compensatorio dirigido a mantener la estabilidad de la pared celular mediante una remodelación de la misma, fundamentalmente a través de un cambio en el patrón de expresión génica, y con ello asegurar la viabilidad celular frente a dicha agresión. La MAPK Slt2 es activada por las MAPKKs redundantes Mkk1 y Mkk2 quienes a su vez son activadas por la MAPKKK Bck1. Bck1 recibe el estímulo de la proteína kinasa C Pkc1, a su vez activada por la GTPasa Rho1 en respuesta a la señal detectada por los mecanosensores de membrana Mid2 y Wsc1,2,3. Una vez activada, Slt2 fosforila y activa al factor de transcripción Rlm1, que promueve un incremento en la transcripción de una serie de genes, entre ellos YKL161C (MLP1), CRH1, CWP1, SLT2 o RLM1. Por otro lado, la pared celular no está presente en células de mamíferos, mientras que esta ruta también está conservada en hongos patógenos, como Candida albicans (Navarro-Garcia, F. et al., 2001. Signal transduction pathways and cell-wall construction in Candida albicans. Med. Mycol. 39 Suppl 1, 87-100), Aspergillus fumigatus (May, G.S et al., 2005. Mitogen activated protein kinases of Aspergillus fumigatus. Med.Mycol. 43 Suppl 1, S83-S86) o Cryptococcus neoformans (Kozubowski, L. et al., 2009. Signalling pathways in the pathogenesis of *Cryptococcus*. Cell Microbiol. 11, 370-380).

30

5

10

15

20

25

En conclusión, es necesario desarrollar nuevos sistemas de búsqueda y estrategias terapéuticas para solventar estos problemas. En esa línea de

actuaciones se incluye la invención aquí presentada, que se orienta a la utilización de cepas hipersensibles para el rastreo farmacológico de compuestos que específicamente dañen la pared celular fúngica, o inhiban el mecanismo compensatorio controlado por la ruta CWI.

5

Descripción detallada de la invención

Construcción génica y métodos para detectar compuestos antifúngicos y antitumorales.

10

15

Para obtener un sistema con el que rastrear nuevos fármacos con efecto potencialmente antifúngico, en la presente invención se ha realizado una construcción génica que incluye el gen *MKK1* de *Saccharomyces cerevisiae* modificado mediante una mutación que da lugar a un cambio en el aminoácido 386 de la proteína, de manera que la serina de la secuencia silvestre está sustituida por una prolina, lo que da lugar a una forma hiperactiva del gen (*MKK1*^{S386P}); en la construcción génica, además, dicho gen está precedido por una secuencia promotora inducible por el factor de transcripción Rlm1 de la ruta CWI y también se incluye una secuencia de terminación de la transcripción.

20

En la presente invención, por "secuencia promotora" se entiende la región de una molécula de ADN a la que se une la ARN polimerasa para iniciar la transcripción y por "secuencia de terminación de la transcripción" se entiende la secuencia de ADN localizada en el extremo de la porción transcrita, y que causa que la ARN polimerasa termine la transcripción.

25

Un aspecto de la presente invención se refiere a una construcción génica que comprende los siguientes componentes, en el orden que se indica en la dirección de transcripción de 5' a 3':

30

- la secuencia promotora de un gen inducible por el factor de transcripción Rlm1 de la ruta de integridad celular (CWI) de Saccharomyces cerevisiae,

- una secuencia de DNA cuya expresión da lugar a la proteína Mkk1 de *Saccharomyces cerevisiae* con una mutación que produce la modificación del aminoácido S386 por P386 en dicha proteína, denominada Mkk1^{S386P}, según se describe en SEQ ID NO: 3, y
- 5 una secuencia de terminación de la transcripción.

En esta construcción génica la distancia entre el extremo 3' de la secuencia promotora y el extremo 5' de la secuencia de DNA cuya expresión da lugar a la proteína Mkk1^{S386P} es menor o igual a 18 nucleótidos y la distancia entre el extremo 3' de la secuencia de DNA cuya expresión da lugar a la proteína Mkk1^{S386P} y el extremo 5' de la secuencia de terminación es menor o igual a 18 nucleótidos. De hecho, en la unión entre dos de los componentes de la construcción pueden quedar, por ejemplo, nucleótidos de secuencias diana de enzimas de restricción insertadas en la secuencia de uno o varios componentes para facilitar la unión de los distintos componentes de la construcción, o bien otras secuencias de nucleótidos, siempre que no alteren la funcionalidad de la construcción.

En una realización preferida, la secuencia promotora pertenece al gen *YKL161C (MLP1)*, que se describe en SEQ ID NO:1. Por otro lado, como secuencia de terminación de la transcripción, una realización preferida incluye la secuencia de terminación *ADH*t, descrita en SEQ ID NO:4. La realización más preferida de la invención, caracterizada por SEQ ID NO: 13, incluye *pYKL161C y ADH*t.

La sobreexpresión del alelo de *MKK1*^{S386P} que codifica una versión hiperactiva de esta MAPKK es letal para la célula. Se ha elaborado una construcción génica que da lugar a un circuito genético de retroalimentación positiva que conduce a una elevada amplificación de la señal que se transmite a través de la ruta CWI de la levadura *S. cerevisiae* y resulta en letalidad para las células.

30

10

15

20

La construcción génica objeto de esta invención conduce a una amplificación continua de la señal transmitida por la MAPK SIt2 a través del factor de

transcripción Rlm1. El esquema que incluye una realización preferida de la invención es: p*YKL161C-MKK1*^{S386P}-*ADH*t, y por tanto comprende los siguientes componentes:

pYKL161C- promotor del gen YKL161C (MLP1), caracterizado por SEQ ID NO: 1, que presenta una elevada inducción transcripcional en respuesta a daño en pared y a estímulos que activan la ruta CWI.

5

15

20

MKK1^{S386P}- caracterizado por SEQ ID NO: 2; alelo de *MKK1* que codifica una versión hiperactiva de esta MAPKK, cuya sobreexpresión es letal para la célula.

10 ADHt- región de terminación transcripcional del gen ADH1, caracterizada por SEQ ID NO: 4.

Otro aspecto de la invención se refiere a vectores en los que se han insertado las posibles construcciones de la invención. Estos vectores, posteriormente, pueden utilizarse para transformar células de *S. cerevisiae*. Además, las construcciones de la invención pueden integrarse directamente en el genoma de una cepa de *S. cerevisiae*.

La invención también incluye a la cepa de *S. cerevisiae* depositada con fecha 26 de septiembre de 2014 en la Colección Española de Cultivos Tipo (CECT), ubicada en el Parque Científico de la Universidad de Valencia, 46980 Paterna (Valencia), con número de acceso CECT13115 que, internamente, recibe la referencia yEA1.

Tal y como se indica en la figura 1, en una célula que incluye la construcción génica de la invención, se genera un circuito de amplificación, de retroalimentación positiva, y la estimulación de la ruta supone la activación de la cascada de quinasas hasta Slt2, la fosforilación y activación de Rlm1, la inducción del promotor *YKL161C* y la expresión del alelo hiperactivo correspondiente. Su expresión conduce a una mayor activación de Slt2, por tanto de Rlm1, y por tanto una mayor expresión de *YKL161C*, generándose un bucle de activación que se retroalimenta positiva y continuadamente mientras

se mantenga el estímulo. Ello conlleva una gran amplificación de la señal y, por tanto, una respuesta celular excesiva, lo que conduce a la muerte de la célula a bajas concentraciones de cualquier agente que altere la pared de *S. cerevisiae*. Por tanto, la construcción génica de la invención confiere a las células que la portan una hipersensibilidad a los estímulos que activan la ruta CWI.

5

10

15

20

Esta invención tiene aplicaciones como sistema biosensor de estímulos externos. Las cepas que incluyen la construcción génica pueden utilizarse para detectar con más facilidad estímulos débiles que activen naturalmente la ruta CWI, debido a su mayor sensibilidad.

La capacidad biosensora de las cepas fúngicas con la construcción génica que da lugar al circuito amplificador de señal permite su utilización como herramienta de cribado farmacológico para la identificación de diferentes tipos de fármacos:

- i) Por una parte, para la búsqueda de antifúngicos.
- Con una cepa de levadura que incluya la construcción génica de la invención, que da lugar al circuito de amplificación en la ruta CWI, podemos rastrear 2 tipos de compuestos con actividad antifúngica de una manera muy sencilla y sensible:
- (A) compuestos que alteran procesos de la pared celular o dañan directamente dicha estructura. Estos compuestos provocan la muerte celular al estimular el circuito de amplificación de la ruta CWI, lo que se detecta mediante sistemas de rastreo HTS (High throughput screening). La cepa que contiene la construcción génica es hipersensible al daño en la pared, debido al efecto amplificador de la señal, por lo que puede permitir descubrir compuestos que, siendo activos sobre esa diana, estén en baja concentración o tengan una potencia reducida en la muestra a ensayar (productos naturales o de síntesis

química), por lo que no podrían ser detectados directamente como inhibidores del crecimiento fúngico en una cepa silvestre de *S. cerevisiae*.

(B) compuestos que inhiben a componentes de la ruta CWI y, por tanto, al mecanismo compensatorio que se dispara en condiciones de daño en la pared celular y que permite mantener la integridad de esta estructura esencial. Este segundo tipo de compuestos podría potenciar la acción de otros antifúngicos que actúen directamente sobre la pared celular en terapias combinadas. Estos compuestos se identifican por su capacidad de evitar la muerte celular de las cepas fúngicas que incluyen las construcciones génicas de la invención en condiciones de activación del circuito de amplificación por algún estímulo conocido de la ruta CWI. El hecho de que su forma de identificación en el rastreo sea por recuperación de la viabilidad celular, favorece el aislamiento de compuestos con poca toxicidad *per se* sobre la célula eucariótica.

5

10

15

20

25

30

- ii) Por otra parte, este bioensayo se puede utilizar en el rastreo farmacológico para la búsqueda de antitumorales.
- Hay que tener en cuenta que tanto las proteínas que operan en las rutas mediadas por MAPKs en la levadura *S. cerevisiae*, como los mecanismos de activación, las interacciones moleculares que determinan el reconocimiento y la especificidad de sustratos o la localización subcelular de los componentes, son muy parecidos a los del resto de organismos eucarióticos, incluyendo los de eucariotas superiores. De hecho, esta conservación estructural y funcional ha hecho posible el uso de *S. cerevisiae* como modelo experimental de célula eucariótica para la clonación o caracterización de genes humanos que codifican proteínas de señalización. Por tanto, los posibles compuestos que se obtendrían en un cribado con el segundo bioensayo anteriormente descrito (B) como inhibidores de los componentes de la ruta CWI son, potencialmente, inhibidores de rutas de MAPKs similares en células de mamífero. Dado que, en este caso, la diana no es específica de hongos, los compuestos seleccionados

pueden tener efecto antitumoral ya que estas rutas de MAPKs son esenciales en la proliferación celular de células eucarióticas superiores, jugando un papel fundamental en algunos procesos oncológicos.

El desarrollo de bioensayos utilizando este sistema, ya sea mediante el uso de la construcción génica o mediante el uso de los vectores y/o células que la contienen, tiene una serie de ventajas destacables, como es su fácil adaptabilidad a la tecnología de alto rendimiento (HTS), ya que admite formatos de alta densidad, presenta un sistema de detección muy fácil (medida de crecimiento por espectrometría, frente a otros sistemas basados en genes reporteros que implican medida de actividad enzimática), rapidez en la obtención de resultados, bajo coste (permite el uso de medios de cultivo sencillos no definidos, sin requerimientos nutritivos específicos), etc. Una innovación importante de este sistema es la combinación de una elevada sensibilidad de las levaduras que portan la construcción génica de la invención con una gran selectividad de acción.

Otro aspecto de la invención se refiere a un kit para la detección de compuestos antifúngicos y/o antitumorales que incluye las construcciones génicas, los vectores y/o las células eucariotas de la invención.

En conclusión, las cepas de levaduras que incluyen esta construcción génica constituyen un sistema sencillo, fácil de manipular, sensible, específico, seguro y muy económico de búsqueda de compuestos tanto que alteren la pared fúngica como que modifiquen la señalización a través de rutas de MAPKs, y por tanto con potencial actividad antifúngica o antitumoral.

Descripción de las figuras

20

25

Figura 1: Esquema ilustrativo de la forma de operar del circuito genético de amplificación y retroalimentación de la ruta CWI mediada por la MAPK SIt2 en la levadura *S. cerevisiae*. Se muestran los distintos componentes que

participan en esta ruta de respuesta a estrés sobre la pared celular y la composición de la construcción génica de la invención.

Figura 2: Ensayos de sensibilidad en medio líquido de la cepa yEA1 y las isogénicas silvestre BY4741 y mutante Y00993 (slt2Δ), frente a rojo Congo (representado como "RC"), un compuesto alterante de la pared celular, utilizando un método de microdilución.

Figura 3: Ensayos de recuperación de la viabilidad en medio líquido en presencia de rojo Congo de la cepa yEA1 y las isogénicas silvestre BY4741 y mutante slt2Δ, tras la adición de cercosporamida (representada como "C"), un agente que inhibe la señalización a través de la ruta CWI, utilizando un método de microdilución.

15 Modo de realización de la invención

5

25

30

La presente invención se ilustra adicionalmente mediante los siguientes ejemplos, los cuales no pretenden ser limitativos de su alcance.

Ejemplo 1: Construcción del plásmido pEA1 que incluye la *cassette* de amplificación de la señal de la ruta CWI.

Para construir el plásmido pEA1 con la *cassette* de amplificación de la señal de la ruta CWI, se amplificaron por separado y mediante la reacción en cadena de la polimerasa (PCR) los tres módulos que incluye la construcción génica de la invención (los sitios de corte de las correspondientes enzimas de restricción se indican mediante subrayado):

 Región promotora del gen YKL161C, utilizando los oligonucleótidos cebadores MLP1PR5 (CCCCGGAATTCGGGCCCACAACAAGAACGT GGGCGATAC), caracterizado por SEQ ID NO: 5, que introduce puntos de corte EcoRI y PspOMI; y MLP1PR3 (CCCCCTCGAGCATTTAATTG TGAATCTTTCTTCG), caracterizado por SEQ ID NO: 6, que introduce un punto *Xhol*. Como molde se utilizó DNA genómico de la cepa S288C de *S. cerevisiae*.

- Amplificación de la versión hiperactiva del gen MKK1^{S386P}. Se utilizaron los oligonucleótidos cebadores MKK1-5 (CCCGTCGACTCGAGATGG CTTCACTGTTCAGACC), caracterizado por SEQ ID NO: 7, que introduce sitios de corte Sall-Xhol al comienzo de la secuencia amplificada y el oligonucleótido MKK1-3 (CCCGTCGACTTAATCTTTC CAGCACTTCC), caracterizado por SEQ ID NO:8, que introduce un sitio Sall al final de la secuencia amplificada. Como molde se utilizó el plásmido pNV7W-MKK1^{S386P} (Watanabe, Y. et al. 1995. Yeast RLM1 encodes a serum response factor-like protein that may function downstream of the Mpk1 (Slt2) mitogen-activated protein kinase pathway. Mol. Cell Biol. 15, 5740-5749).

5

10

25

Amplificación de la región terminadora del gen ADH1, con los oligonucleótidos ADHT5 (CCCCGGATCCGTCGACCCTGAGTAAATAA GCG), caracterizado por SEQ ID NO: 9, que introduce sitios de corte BamHI-Sall, y ADHT3B (CCCCCGGATCCCGGTGGTGGTCAATAAG), caracterizado por SEQ ID NO: 10, que introduce un sitio de corte BamHI. Como molde se utilizó DNA genómico de la cepa S288C de S.
 20 cerevisiae.

A continuación, la construcción génica se ensambló subclonando en tándem los tres módulos indicados anteriormente, siguiendo la secuencia *Eco*Rl-pYKL161C-Xhol-MKK1^{S386P}-Sall-ADHt-BamHI, y se introdujeron como un fragmento génico en el vector de integración M4366 HO-hisG-URA3-hisG-poly-HO (Voth *et al.* 2001. Yeast vectors for integration at the HO locus. Nucleic Acids Res. *29*, E59) (número de acceso AF324729) entre los sitios *Eco*RI y *Bam*H1, generándose el plásmido pEA1.

30 **Ejemplo 2: Construcción de la cepa recombinante yEA1 de** *S. cerevisiae*Para construir la cepa recombinante yEA1 de *S. cerevisiae*, se integró la construcción génica p*YKL161C-MKK1*S386P-ADHt en el genoma de la cepa

silvestre BY4741 (colección EUROSCARF) mediante su transformación con el fragmento Notl-Notl procedente del plásmido pEA1, dirigiéndose por tanto la integración al locus HO de dicha cepa. Para la transformación, se siguió el método del acetato de litio seleccionando los transformantes en medio carente de uracilo. Se confirmó su integración en el locus HO mediante ensayos de amplificación por PCR. utilizándose los oligonucleótidos CTGATATGTCTGAGG-3', caracterizado por SEQ ID NO: 11, que hibrida en el gen HO, y 5'-CATTGGAAATTAGGGC'-3, caracterizado por SEQ ID NO: 12, que hibrida en la secuencia de la región promotora del gen YKL161C. Tras la verificación de su integración correcta, se forzó la pérdida del marcador de selección URA3, presente en la cassette de integración, mediante el cultivo en presencia de ácido 5-fluoroorótico, que resulta tóxico para aquellas células portadoras del gen URA3, obteniéndose la cepa yEA1.

5

10

20

25

30

Ejemplo 3: Ensayo de la cepa yEA1 frente a agentes alterantes de la pared celular.

A modo de ejemplo de la aplicabilidad de este sistema en la búsqueda de antifúngicos alterantes de la pared celular fúngica, se muestra la inhibición del crecimiento que provoca el rojo Congo, una sustancia que se une a la guitina de la pared celular e interfiere con la estabilidad de la pared celular de la levadura. Los ensayos se realizaron en la cepa yEA1, en comparación con la cepa silvestre BY4741 y con una cepa mutante slt2Δ isogénica (la cepa Y00993 de EUROSCARF). El ensayo se realizó mediante el cultivo de un preinóculo de cada cepa de levadura en medio YPD (Yeast Extract-Peptone-Dextrose, medio común de crecimiento de hongos) hasta una concentración de 2 x 10⁷ células (equivalente a una DO600 entre 0,8 y 1,2), desde el cual se diluyó el cultivo hasta una DO estimada 0,01, inoculándose 75 µl de esta suspensión en cada pocillo de una placa multipocillo (96 pocillos), que contenía 75 µl de medio fresco YPD en cada pocillo, al que se añadió rojo Congo en una concentración comprendida entre 0,0029 y 1,5 µg/ml, tal y como se indica en la Figura 2. Las placas multipocillo se incubaron a 24°C durante 24 horas, valorándose el crecimiento de las tres cepas utilizadas en un lector de placas como

absorbancia a 600nM. En el gráfico de la Figura 2, se muestra el comportamiento en este ensayo de las tres cepas, con el crecimiento representado en ordenadas y las concentraciones de rojo Congo utilizadas en el eje de abscisas. Se puede observar cómo la Concentración Mínima Inhibitoria (CMI) de este compuesto sobre la cepa yEA1 que incluye la construcción génica de la invención es menor que sobre la cepa silvestre BY4741 e, incluso, que sobre la cepa delecionada en el gen *SLT2*. Ello indica la elevada sensibilidad de la cepa yEA1, que porta la construcción génica aquí descrita.

10

15

20

25

5

Ejemplo 4: Ensayo de la cepa yEA1 frente a agentes inhibidores de la señalización a través de la ruta CWI. A modo de ejemplo de la aplicabilidad de este sistema en la búsqueda de compuestos inhibidores de la ruta CWI de hongos, se muestra un ensayo de recuperación del crecimiento por cercosporamida. La cercosporamida es un inhibidor comercial de la protein kinasa Pkc1, componente esencial en la señalización a través de la ruta CWI. El ensayo se realizó igual que en el ejemplo 3, con la excepción de que se añadió una concentración fija de 0,025µg/ml de rojo Congo a todos los pocillos para inducir el circuito genético de retroalimentación positiva a que da lugar la construcción génica de la invención y concentraciones variables de cercosporamida, en un rango que no resulta tóxico para la cepa silvestre (entre 2,5 y 40µg/ml); se utilizaron, además, las mismas tres cepas que en el ejemplo 3. En el gráfico de la Figura 3 se muestra, en ordenadas, el crecimiento en estas condiciones de las tres cepas ensayadas, tras 24 horas de incubación a 24°C, frente a las concentraciones de cercosporamida utilizadas, en el eje de abscisas. Se observa la recuperación del crecimiento que provocó la cercosporamida en la cepa yEA1 a partir de una concentración de 20µg/ml, mientras que la cepa mutante slt2Δ isogénica no creció a ninguna de las concentraciones ensayadas.

30

Texto libre de la lista de secuencias

. .

El texto libre utilizado en la lista de secuencias se corresponde en español a las siguientes características:

SEQ ID NO: 5

5 Secuencia artificial de ADN; cebador basado en *YKL161C* de *Saccharomyces cerevisiae.*

Nucleótidos del 6 al 11: sitio de reconocimiento de la enzima de restricción *EcoR*I.

Nucleótidos del 12 al 17: sitio de reconocimiento de la enzima de restricción 10 *PspOM*I.

SEQ ID NO: 6

Secuencia artificial de ADN; cebador basado en YKL161C de Saccharomyces cerevisiae.

Nucleótidos del 5 al 10: sitio de reconocimiento de la enzima de restricción Xhol

SEQ ID NO: 7

Secuencia artificial de ADN; cebador basado en *MKK1* de *Saccharomyces* cerevisiae

Nucleótidos del 4 al 9: sitio de reconocimiento de la enzima de restricción *Sal*l.

Nucleótidos del 9 al 14: sitio de reconocimiento de la enzima de restricción *Xho*l

SEQ ID NO: 8

25

30

Secuencia artificial de ADN; cebador basado en MKK1 de Saccharomyces cerevisiae.

Nucleótidos del 4 al 9: sitio de reconocimiento de la enzima de restricción Sall.

SEQ ID NO: 9

Secuencia artificial de ADN; cebador basado en *ADH1* de *Saccharomyces* cerevisiae.

Nucleótidos del 5 al 10: sitio de reconocimiento de la enzima de restricción BamHI. Nucleótidos del 11 al 16: sitio de reconocimiento de la enzima de restricción Sall.

SEQ ID NO: 10

5 Secuencia artificial de ADN; cebador basado en *ADH1* de *Saccharomyces* cerevisiae.

Nucleótidos del 6 al 11: sitio de reconocimiento de la enzima de restricción BamHI.

10 **SEQ ID NO: 11**

Cebador basado en el gen HO de Saccharomyces cerevisiae.

SEQ ID NO: 12

Cebador basado en la región promotora del gen *YKL161C* de *Saccharomyces*15 cerevisiae.

SEQ ID NO: 13

20

30

Secuencias artificial de ADN; construcción génica que comprende la región promotora del gen *YKL161C*, el gen *MKK1*^{S386P} y la región de terminación del gen *ADH1* de *Saccharomyces cerevisiae*.

Nucleótidos del 1 al 6: sitio de reconocimiento de la enzima de restricción *EcoR*I.

Nucleótidos del 7 al 12: sitio de reconocimiento de la enzima de restricción PspOMI.

Nucleótidos del 13 al 1204: promotor del gen YKL161C de S. cerevisiae.

Nucleótidos del 1205 al 1210: sitio de reconocimiento de la enzima de restricción *Xho*I.

Nucleótidos del 1211 al 2737: gen MKK1^{S386P} de S. cerevisiae.

Nucleótidos del 2738 al 2743: sitio de reconocimiento de la enzima de restricción *Sal*I.

Nucleótidos del 2744 al 2938: región de terminación del gen *ADH1* de *S. cerevisiae*.

Nucleótidos del 2939 al 2944: sitio de reconocimiento de la enzima de restricción *BamH*I.

REIVINDICACIONES

- 1. Construcción génica que comprende los siguientes componentes, en el orden que se indica en la dirección de transcripción de 5' a 3':
- la secuencia promotora de un gen inducible por el factor de transcripción Rlm1
 de la ruta de integridad celular (CWI) de Saccharomyces cerevisiae,
 - una secuencia de DNA cuya expresión da lugar a la proteína Mkk1 de Saccharomyces cerevisiae con una mutación que produce la modificación del aminoácido S386 por P386 en dicha proteína, según se describe en SEQ ID NO: 3 y denominada Mkk1^{S386P}, y
 - una secuencia de terminación de la transcripción; en la que la distancia entre el extremo 3' de la secuencia promotora y el extremo 5' de la secuencia de DNA cuya expresión da lugar a la proteína Mkk1^{S386P} es menor o igual a 18 nucleótidos y la distancia entre el extremo 3' de la secuencia de DNA cuya expresión da lugar a la proteína Mkk1^{S386P} y el extremo 5' de la secuencia de terminación es menor o igual a 18 nucleótidos.
 - 2. Construcción génica en la que la secuencia de DNA cuya expresión da lugar a la proteína Mkk1^{S386P} es el polinucleótido que se describe en SEQ ID NO: 2, denominado *MKK1*^{S386P}.
 - 3.- Construcción génica según cualquiera de las reivindicaciones 1-2 en la que la secuencia promotora es la región promotora del gen *YKL161c*, caracterizada por SEQ ID NO: 1.

25

10

15

20

- 4. Construcción génica según cualquiera de las reivindicaciones 1-3 en la que la secuencia de terminación de la transcripción es la secuencia de terminación de gen *ADH1* de *Saccharomyces cerevisiae*, caracterizada por SEQ ID NO: 4.
- 30 5. Construcción génica caracterizada por SEQ ID NO: 13.

- 6. Vector que contiene cualquiera de las construcciones definidas en las reivindicaciones 1-5.
- 7. Célula de S. cerevisiae que contiene el vector definido en la reivindicación 6.
- 8. Célula recombinante de *S. cerevisiae* que incluye en su genoma cualquiera de las construcciones definidas en las reivindicaciones 1-5.
- 9. Cepa de *S. cerevisiae* depositada en la Colección de Cultivos Tipo (CECT) con el número de acceso CECT13115.
 - 10. Método para detectar compuestos antifúngicos que alteran la pared celular fúngica que incluye los siguientes pasos:
- a) inocular una cantidad suficiente de una cepa de S. cerevisiae según se
 define en cualquiera de las reivindicaciones 7-9 en medio de cultivo que contiene, en sucesivos tubos, microtubos o pocillos, concentraciones crecientes de los productos que se desea evaluar;
 - b) incubar el medio de cultivo inoculado del paso a);

5

25

30

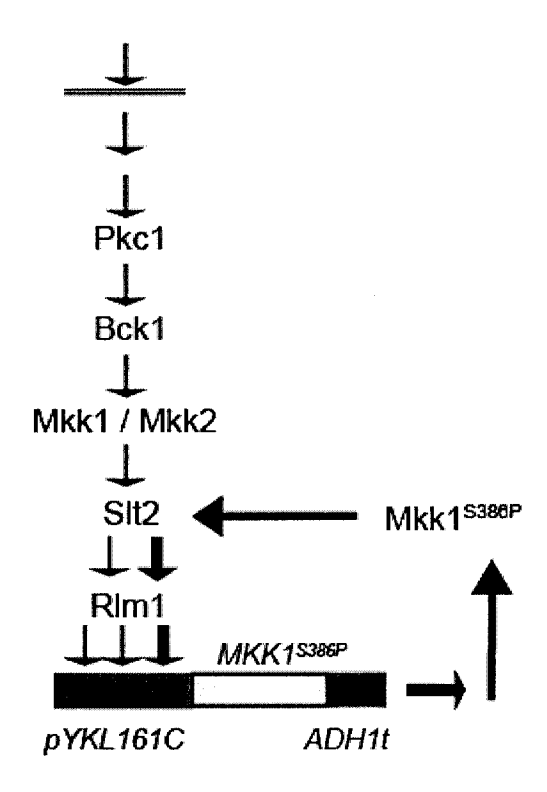
- c) determinar el crecimiento de la cepa inoculada en el paso a);
- d) seleccionar el/los producto/s incluido/s en el medio de cultivo del paso a) en el que se detecte menor crecimiento de la cepa de *S. cerevisiae* definida en las reivindicaciones 7-9 con respecto a una cepa silvestre utilizada como control.
 - 11. Método para detectar compuestos antitumorales o antifúngicos inhibidores de la señalización a través de la ruta CWI que incluye los siguientes pasos:
 - a) inocular una cantidad suficiente de una cepa de *S. cerevisiae* según se define en cualquiera de las reivindicaciones 7-9 en medio de cultivo que contiene un compuesto que estimula la ruta CWI y, en sucesivos tubos, microtubos o pocillos, concentraciones crecientes de los productos que se desea evaluar;
 - b) incubar el medio de cultivo inoculado del paso a);
 - c) determinar el crecimiento de la cepa inoculada en el paso a);

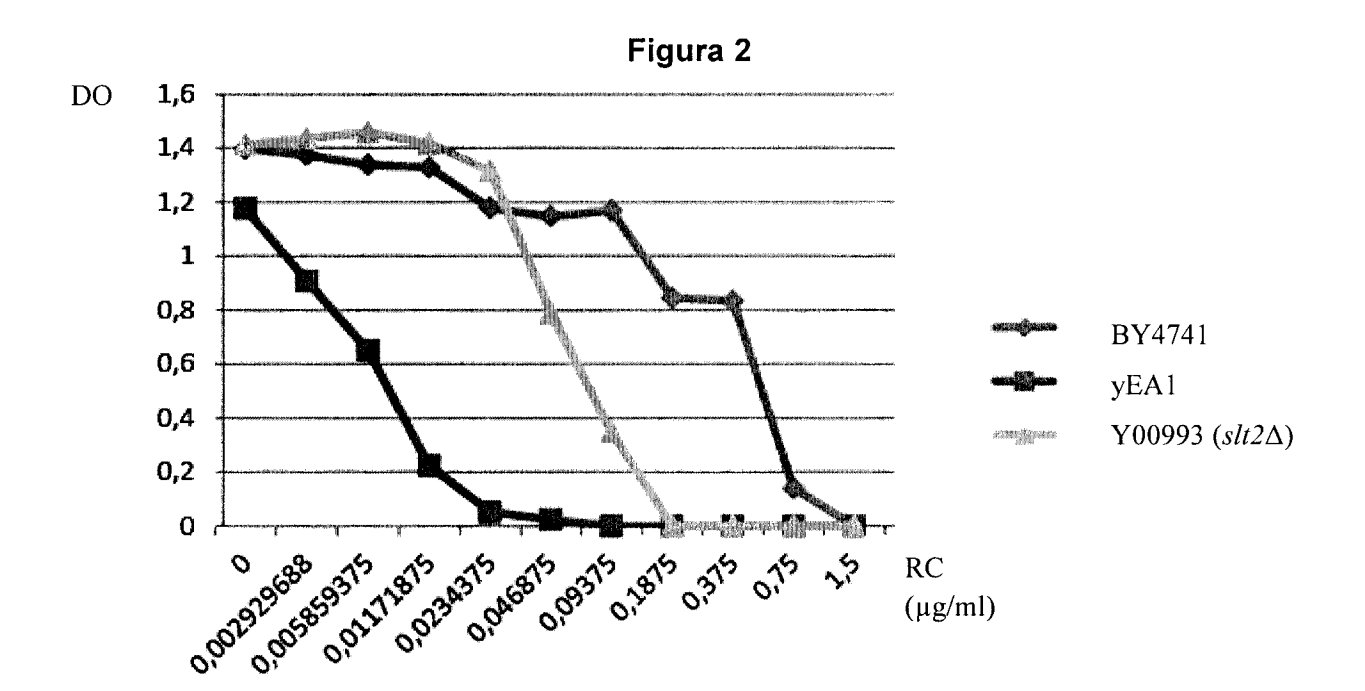
- d) seleccionar el/los producto/s incluido/s en el medio de cultivo del paso a) en el que se detecte mayor crecimiento de la cepa de *S. cerevisiae* definida en las reivindicaciones 7-9 con respecto a una cepa silvestre utilizada como control.
- 12. Método según la reivindicación 11 en el que el compuesto estimulador de la ruta CWI del paso a) es el Rojo Congo.
 - 13. Uso de la construcción génica, los vectores y/o las células definidas en las reivindicaciones 1-9 en la detección de compuestos antifúngicos y/o de compuestos antitumorales.

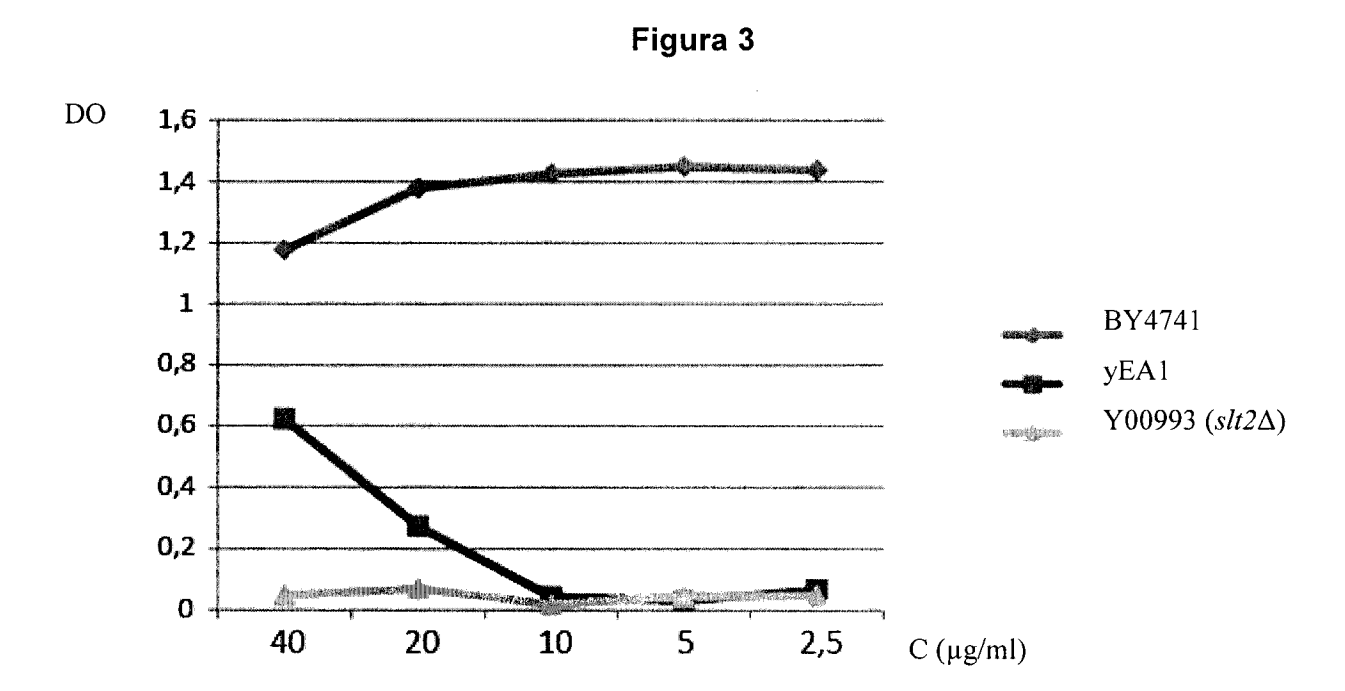
10

14. Kit para la detección de compuestos antifúngicos y/o antitumorales que incluye las construcciones génicas, los vectores y/o las células eucariotas definidas en las reivindicaciones 1-9.

Figura 1







LISTA DE SECUENCIAS

```
<110> Universidad Complutense de Madrid
<120> Construcción génica y métodos para detectar compuestos antifúngicos y
antitumorales
<130> 2014_09_01
<160> 13
<170> Bissap 1.0
<210> 1
<211> 1192
<212> DNA
<213> Saccharomyces cerevisiae
<221> source
<222> 1..1192
<223> /mol_type="DNA"
      /organism="Saccharomyces cerevisiae"
<400> 1
                                                                        60
acaacaagaa cgtgggcgat acagcaaaaa atcacttgaa ataacagaat caagtttctt
                                                                       120
atccgatttc ctacttttga gctccggctt atgttgaaga tgttactttt ctttgtctct
aagtgatctt tattttctg gctccagtga aatttggtaa tagcatagtc acttcaacta
                                                                       180
aaqtctgata gtaatacttg caaatattgc aaaacttgga agaatgttaa tgaatcattt
                                                                       240
                                                                       300
cttgcaccat tctttcaatc atctcaatct cctgctgtga tgtttaagta taacattgaa
                                                                       360
gactatgccc taatttccaa tgttatttag ttttaagcat atctttgttt ctaacaggaa
                                                                       420
actcaggccc acatccgcaa aaaaatatgt gccaaaaaac tttcaacact tcaaagatac
ttaccactgc aggaaaataa tctacgtgta acggtttgaa aataaatttg acttcataat
                                                                       480
                                                                       540
tggacataag tactccatcg ccatcccttt ttaaagaagt ttccacaaga atgaatggct
                                                                       600
aatcqcaact aaatcttttc cttqcaaacq taacacaqta tcqacatttt cttactcaat
ccaacgaagg aataacctat ctaaaaaata aacgccgtag ttttcagccc acaagacgtc
                                                                       660
attaaaagat ttgttaatta taaaaataga aatatttcta ccagcatgat tattcgttac
                                                                       720
ttgaaagtcc ccaataaatt tcactgtttc cgttaactgt tgtagttatt aaacgcagca
                                                                       780
aacagattat tttgaacaac accggagaaa cacgcgcaga cccattcgag ttaaaaatag
                                                                       840
                                                                       900
taactcgcga tcaatcaatg caggaagcac cgtaggaatt agtaagaact cgtattttga
ttgaaaatgc catgaaagca attgacttgc tgcagtaaaa agcgctgcca caaactttgt
                                                                       960
aattttcgac aatgacgttc ttttcagatg gttactgtct ttttttggaa gaaacaaaag
                                                                      1020
aaggtacttt tatgatgtta tactaggcaa aaagcctatt taatgtaagt cctaattgtc
                                                                      1080
gtttgagact ggatgaaaag ggacaaaatg gaaggataac taaaggtgac ttaccgccag
                                                                      1140
                                                                      1192
attaattcgg cctggaatag tttgatatcg aagaaagatt cacaattaaa tg
<210> 2
```

<210> 2 <211> 1527 <212> DNA

<213> Saccharomyces cerevisiae <221> source <222> 1..1527 <223> /mol_type="DNA" /organism="Saccharomyces cerevisiae" <220> <221> CDS <222> 1..1527 <223> /transl_table=1 /translation="MASLFRPPESAKCNPNSPRLKLPLLRNNQVDENNIYLTSNGSSTTAYSSHT PEPLTSSTSTLFSQTRLHPSDSSMTLNTMKKRPAPPSLPSLSINSQSKCKTLPELVPIADVSDGK HDLGLKQRVIAENELSGNSDLTPSSMASPFSHTNTSSPYLRNDLSNSVGSDFSNLISAYEQSSSP IKSSSQPKSSSESYIDLNSVRDVDQLDENGWKYANLKDRIETLGILGEGAGGSVSKCKLKNGSKI FALKVINTLNTDPEYQKQIFRELQFNRSFQSEYIVRYYGMFTDDENSSIYIAMEYMGGRSLDAIY KNLLERGGRISEKVLGKIAEAVLRGLSYLHEKKVIHRDIKPQNILLNENGQVKLCDFGVSGEAVN SLATTFTGTPFYMAPERIQGQPYSVTSDVWSLGLTILEVANGKFPCSSEKMAANIAPFELLMWIL TFTPELKDEPESNIIWSPSFKSFIDYCLKKDSRERPSPRQMINHPWIKGQMKKNVNMEKFVRKCW <400> 2 60 atggcttcac tgttcagacc cccagaatct gcgaaatgca acccaaactc tcctagactt 120 aaactgcccc tcttacgaaa taatcaggta gatgaaaata atatatactt gacgtcgaat 180 gggagttcca ccacagctta cagtagccac accccagaac cactgacctc ttccacatcg acacttttct cccaaactcg acttcatcct agcgactctt caatgacttt aaatacaatg 240 aagaagaggc ctgcaccgcc atctttacct tcgctcagca taaattcaca gtctaagtgc 300 360 aaaacactac ccgaactcgt acccatcgcc gatgtgtctg atggtaaaca tgatttagga 420 ttgaaacagc gtgtgatagc cgaaaatgag ttgtctggta atagtgactt aaccccttca tcgatggcaa gccccttttc acatacaaac acctcttctc cctacctcag aaatgatctg 480 agcaattcag tgggatctga cttttcaaat ttgatatcgg catatgaaca aagttcaagt 540 cccatcaagt catcgtccca gcctaaatca tcttctgaat cgtacataga cttaaacagt 600 gtacgagatg ttgatcaatt ggatgaaaat ggttggaaat atgcaaattt aaaagatagg 660 atcgagacat taggcattct aggagaagga gccggtggct ctgtttccaa gtgtaaattg 720 aaaaatggat caaaaatatt cgctttaaaa gtgataaaca cattaaatac agatcccgag 780 840 tatcagaagc aaatattcag agaattacag tttaatagga gtttccaatc cgaatatatc 900 gtacgatatt atggaatgtt tacggatgac gaaaactctt caatttatat tgctatggag tacatgggtg ggcgatcgtt ggatgctatt tataaaaatt tgttagagcg tggtggtagg 960 1020 atcagtgaaa aagtcctggg gaagattgca gaagcggtac taagaggact atcatatttg catgaaaaaa aagttattca tagagatatt aagccccaga atattttact gaatgaaaat 1080 ggtcaggtga aactttgtga ttttggggtc agtggagaag ccgttaactc gctagccaca 1140 1200 acattcacgg ggacgccatt ctatatggct ccagaaagga ttcaaggtca accatacagt gtcacatctg atgtatggtc acttggatta acgattttgg aagtggcgaa cgggaaattt 1260 ccatgctctt ccgagaagat ggcagccaat atagctccct ttgaattgtt aatgtggatt 1320 ttaacattta ctcctgaatt aaaggatgaa cccgaatcta atatcatatg gagtccatca 1380

1440 1500

1527

ttcaaatcct ttatcgacta ctgtctgaaa aaagatagtc gtgaacggcc atctccaaga

caaatgatca atcatccttg gataaagggt caaatgaaaa aaaatgtcaa tatggaaaaa ttcgtgagga agtgctggaa agattaa <210> 3 <211> 508 <212> PRT <213> Saccharomyces cerevisiae <220> <221> SOURCE <222> 1..508 <222> /mol_type="protein"
 /note="[CDS]:1..1527 from SEQ ID NO 2"
 /organism="Saccharomyces cerevisiae" <400> 3 Met Ala Ser Leu Phe Arg Pro Pro Glu Ser Ala Lys Cys Asn Pro Asn 10 Ser Pro Arg Leu Lys Leu Pro Leu Leu Arg Asn Asn Gln Val Asp Glu 20 25 30 Asn Asn Ile Tyr Leu Thr Ser Asn Gly Ser Ser Thr Thr Ala Tyr Ser Ser His Thr Pro Glu Pro Leu Thr Ser Ser Thr Ser Thr Leu Phe Ser 50 55 60 Gln Thr Arg Leu His Pro Ser Asp Ser Ser Met Thr Leu Asn Thr 65 70 75 Lys Lys Arg Pro Ala Pro Pro Ser Leu Pro Ser Leu Ser Ile Asn Ser 85 90 95 Gln Ser Lys Cys Lys Thr Leu Pro Glu Leu Val Pro Ile Ala Asp Val 100 105 110 Ser Asp Gly Lys His Asp Leu Gly Leu Lys Gln Arg Val Ile Ala Glu 115 120 125 Asn Glu Leu Ser Gly Asn Ser Asp Leu Thr Pro Ser Ser Met Ala Ser Pro Phe Ser His Thr Asn Thr Ser Ser Pro Tyr Leu Arg Asn Asp Leu 145 150 155 16 Ser Asn Ser Val Gly Ser Asp Phe Ser Asn Leu Ile Ser Ala Tyr Glu 165 170 175 Gln Ser Ser Ser Pro Ile Lys Ser Ser Ser Gln Pro Lys Ser Ser Ser 180 185 190 Glu Ser Tyr Ile Asp Leu Asn Ser Val Arg Asp Val Asp Gln Leu Asp Glu Asn Gly Trp Lys Tyr Ala Asn Leu Lys Asp Arg Ile Glu Thr Leu 210 220 Gly Ile Leu Gly Glu Gly Ala Gly Gly Ser Val Ser Lys Cys Lys Leu 235 235 24 Lys Asn Gly Ser Lys Ile Phe Ala Leu Lys Val Ile Asn Thr Leu Asn 245 250 255 Thr Asp Pro Glu Tyr Gln Lys Gln Ile Phe Arg Glu Leu Gln Phe Asn 260 265 270 Arg Ser Phe Gln Ser Glu Tyr Ile Val Arg Tyr Tyr Gly Met Phe Thr 275 280 285 Asp Asp Glu Asn Ser Ser Ile Tyr Ile Ala Met Glu Tyr Met Gly Gly 290 295 300 Arg Ser Leu Asp Ala Ile Tyr Lys Asn Leu Leu Glu Arg Gly Gly Arg 305 310 315 320 310 Ile Ser Glu Lys Val Leu Gly Lys Ile Ala Glu Ala Val Leu Arg Gly 325 _ 330 _ 335 Leu Ser Tyr Leu His Glu Lys Lys Val Ile His Arg Asp Ile Lys Pro 340 345 350 Gln Asn Ile Leu Leu Asn Glu Asn Gly Gln Val Lys Leu Cys Asp Phe 360 365 355 Gly Val Ser Gly Glu Ala Val Asn Ser Leu Ala Thr Thr Phe Thr Gly 375 Thr Pro Phe Tyr Met Ala Pro Glu Arg Ile Gln Gly Gln Pro Tyr Ser

```
400
                      390
Val Thr Ser Asp Val Trp Ser Leu Gly Leu Thr Ile Leu Glu Val Ala
                                       410
                                                            415
                 405
Asn Gly Lys Phe Pro Cys Ser Ser Glu Lys Met Ala Ala Asn Ile Ala 420 425 430
             420
Pro Phe Glu Leu Leu Met Trp Ile Leu Thr Phe Thr Pro Glu Leu Lys
                               440
                                                    445
        435
Asp Glu Pro Glu Ser Asn Ile Ile Trp Ser Pro Ser Phe Lys Ser Phe 450 460
Ile Asp Tyr Cys Leu Lys Lys Asp Ser Arg Glu Arg Pro Ser Pro Arg
                      470
                                           475
465
Gln Met Ile Asn His Pro Trp Ile Lys Gly Gln Met Lys Lys
                                       490
                 485
Asn Met Glu Lys Phe Val Arg Lys Cys Trp Lys Asp 500
<210> 4
<211> 195
<212> DNA
<213> Saccharomyces cerevisiae
<220>
<221> source
<222> 1..195
<223> /mol_type="DNA"
      /organism="Saccharomyces cerevisiae"
<400> 4
                                                                            60
cctgagtaaa taagcgaatt tcttatgatt tatgattttt attattaaat aagttataaa
aaaaataagt gtatacaaat tttaaagtga ctcttaggtt ttaaaacgaa aattcttatt
                                                                           120
                                                                           180
cttgagtaac tctttcctgt aggtcaggtt gctttctcag gtatagcatg aggtcgctct
                                                                           195
tattgaccac caccg
<210> 5
<211> 39
<212> DNA
<213> artificial sequences
<220>
<221> source
<222> 1..39
<223> /mol_type="DNA"
     /note="Primer based on YKL161C from Saccharomyces cerevisiae"
      /organism="artificial sequences'
<221> misc_feature
<222> 6..11
<223> /note="EcoRI restriction enzyme recognition site"
<220>
<221> misc_feature 
<222> 12..17
<223> /note="PspOMI restriction enzyme recognition site"
                                                                            39
ccccggaatt cgggcccaca acaagaacgt gggcgatac
<210> 6
<211> 34
<212> DNA
<213> artificial sequences
<220>
```

```
<221> source <222> 1..34
<220>
<221> misc_feature
<222> 5..10
<223> /note="XhoI restriction enzyme recognition site"
                                                                       34
cccctcgag catttaattg tgaatctttc ttcg
<210> 7
<211> 34
<212> DNA
<213> artificial sequences
<220>
<221> source
<222> 1..34
<223> /mol_type="DNA"
    /note="Primer based on MKK1 from S. cerevisiae"
      /organism="artificial sequences"
<220>
<221> misc_feature
<222> 4..9
<223> /note="SalI restriction enzyme recognition site"
<220>
<221> misc_feature <222> 9..14
<223> /note="XhoI restriction enzyme recognition site"
                                                                       34
cccgtcgact cgagatggct tcactgttca gacc
<210> 8
<211> 29
<212> DNA
<213> artificial sequences
<220>
/organism="artificial sequences'
<220>
<221> misc_feature
<222> 4..9
<223> /note="SalI restriction enzyme recognitions site"
                                                                      29
cccgtcgact taatctttcc agcacttcc
<210> 9
<211> 32
<212> DNA
<213> artificial sequences
<220>
<221> source
```

```
<222> 1..32
<223> /mol_type="DNA"
/note="Primer based on ADH1 from Saccharomyces cerevisiae"
       /organism="artificial sequences
<220>
<221> misc_feature <222> 5..10
<223> /note="BamHI restriction enzyme recongnition site"
<220>
<221> misc_feature
<222> 11..16
<223> /note="SalI restriction enzyme recognition site"
<400> 9
                                                                                  32
ccccggatcc gtcgaccctg agtaaataag cg
<210> 10
<211> 28
<212> DNA
<213> artificial sequences
<220>
<221> source <222> 1..28
<223> /mol_type="DNA"
    /note="Primer based on ADH1 from Saccharomyces cerevisiae"
       /organism="artificial sequences
<220>
<221> misc_feature <222> 6..11
<223> /note="BamHI restriction enzyme recognition site"
<400> 10
ccccggatc ccggtggtgg tcaataag
                                                                                28
<210> 11
<211> 15
<212> DNA
<213> Saccharomyces cerevisiae
<220>
<221> source
<222> 1..15
<223> /mol_type="DNA"
   /note="Primer based on HO gene"
       /organism="Saccharomyces cerevisiae"
<400> 11
ctgatatgtc tgagg
                                                                                15
<210> 12
<211> 16
<212> DNA
<213> Saccharomyces cerevisiae
<220>
<221> source
<222> 1..16
<223> /mol_type="DNA"
    /note="Primer based on YKL161C gene promotor region"
       /organism="Saccharomyces cerevisiae
<400> 12
```

cattggaaat tagggc <210> 13 <211> 2944 <212> DNA <213> artificial sequences <220> <221> source <222> 1..2944 <223> /mol_type="DNA"
 /note="Genetic construction comprising YKL161C gene_promotor regi on, MKK1S386P gene and ADH1 gene terminator region from S. cerevi siae" /organism="artificial sequences" <220> <221> misc_feature <222> 1..6
<223> /note="EcoRI restriction enzyme recognition site" <220> <221> misc_feature <222> 7..12 <223> /note="PspOMI restriction enzyme recognition site" <220> <221> promoter <222> 13..1204 <223> /note="from S. cerevisiae YKL161C gene" <220> <221> misc_feature <222> 1205..1210 <223> /note="XhoI restriction enzyme recognition site" <220> <221> gene <222> 1211..2737 <223> /standard_name="MKK1S386P from S. cerevisiae" <221> misc_feature <222> 2738..2743
<223> /note="Sall restriction enzyme recognition site" <220> <221> terminator
<222> 2744..2938
<223> /note="From S. cerevisiae ADH1 gene" <220> <221> misc_feature <222> 2939..2944 <223> /note="BamHI restriction enzyme recognition site" <400> 13 gaattcgggc ccacaacaag aacgtgggcg atacagcaaa aaatcacttg aaataacaga 60 atcaagtttc ttatccgatt tcctactttt gagctccggc ttatgttgaa gatgttactt 120 ttctttgtct ctaagtgatc tttatttttc tggctccagt gaaatttggt aatagcatag 180 tcacttcaac taaagtctga tagtaatact tgcaaatatt gcaaaacttg gaagaatgtt 240 aatgaatcat ttcttgcacc attctttcaa tcatctcaat ctcctgctgt gatgtttaag 300 tataacattg aagactatgc cctaatttcc aatgttattt agttttaagc atatctttgt 360

16

ttctaacagg	aaactcaggc	ccacatccgc	aaaaaaatat	gtgccaaaaa	actttcaaca	420
cttcaaagat	acttaccact	gcaggaaaat	aatctacgtg	taacggtttg	aaaataaatt	480
tgacttcata	attggacata	agtactccat	cgccatccct	ttttaaagaa	gtttccacaa	540
gaatgaatgg	ctaatcgcaa	ctaaatcttt	tccttgcaaa	cgtaacacag	tatcgacatt	600
ttcttactca	atccaacgaa	ggaataacct	atctaaaaaa	taaacgccgt	agttttcagc	660
ccacaagacg	tcattaaaag	atttgttaat	tataaaaata	gaaatatttc	taccagcatg	720
attattcgtt	acttgaaagt	ccccaataaa	tttcactgtt	tccgttaact	gttgtagtta	780
ttaaacgcag	caaacagatt	attttgaaca	acaccggaga	aacacgcgca	gacccattcg	840
agttaaaaat	agtaactcgc	gatcaatcaa	tgcaggaagc	accgtaggaa	ttagtaagaa	900
ctcgtatttt	gattgaaaat	gccatgaaag	caattgactt	gctgcagtaa	aaagcgctgc	960
cacaaacttt	gtaattttcg	acaatgacgt	tcttttcaga	tggttactgt	cttttttgg	1020
aagaaacaaa	agaaggtact	tttatgatgt	tatactaggc	aaaaagccta	tttaatgtaa	1080
gtcctaattg	tcgtttgaga	ctggatgaaa	agggacaaaa	tggaaggata	actaaaggtg	1140
acttaccgcc	agattaattc	ggcctggaat	agtttgatat	cgaagaaaga	ttcacaatta	1200
aatgctcgag	atggcttcac	tgttcagacc	cccagaatct	gcgaaatgca	acccaaactc	1260
tcctagactt	aaactgcccc	tcttacgaaa	taatcaggta	gatgaaaata	atatatactt	1320
gacgtcgaat	gggagttcca	ccacagctta	cagtagccac	accccagaac	cactgacctc	1380
ttccacatcg	acacttttct	cccaaactcg	acttcatcct	agcgactctt	caatgacttt	1440
aaatacaatg	aagaagaggc	ctgcaccgcc	atctttacct	tcgctcagca	taaattcaca	1500
gtctaagtgc	aaaacactac	ccgaactcgt	acccatcgcc	gatgtgtctg	atggtaaaca	1560
tgatttagga	ttgaaacagc	gtgtgatagc	cgaaaatgag	ttgtctggta	atagtgactt	1620
aaccccttca	tcgatggcaa	gccccttttc	acatacaaac	acctcttctc	cctacctcag	1680
aaatgatctg	agcaattcag	tgggatctga	cttttcaaat	ttgatatcgg	catatgaaca	1740
aagttcaagt	cccatcaagt	catcgtccca	gcctaaatca	tcttctgaat	cgtacataga	1800
cttaaacagt	gtacgagatg	ttgatcaatt	ggatgaaaat	ggttggaaat	atgcaaattt	1860
aaaagatagg	atcgagacat	taggcattct	aggagaagga	gccggtggct	ctgtttccaa	1920
gtgtaaattg	aaaaatggat	caaaaatatt	cgctttaaaa	gtgataaaca	cattaaatac	1980
agatcccgag	tatcagaagc	aaatattcag	agaattacag	tttaatagga	gtttccaatc	2040
cgaatatatc	gtacgatatt	atggaatgtt	tacggatgac	gaaaactctt	caatttatat	2100
tgctatggag	tacatgggtg	ggcgatcgtt	ggatgctatt	tataaaaatt	tgttagagcg	2160
tggtggtagg	atcagtgaaa	aagtcctggg	gaagattgca	gaagcggtac	taagaggact	2220
atcatatttg	catgaaaaaa	aagttattca	tagagatatt	aagccccaga	atattttact	2280
gaatgaaaat	ggtcaggtga	aactttgtga	ttttggggtc	agtggagaag	ccgttaactc	2340
gctagccaca	acattcacgg	ggacgccatt	ctatatggct	ccagaaagga	ttcaaggtca	2400

accatacagt	gtcacatctg	atgtatggtc	acttggatta	acgattttgg	aagtggcgaa	2460
cgggaaattt	ccatgctctt	ccgagaagat	ggcagccaat	atagctccct	ttgaattgtt	2520
aatgtggatt	ttaacattta	ctcctgaatt	aaaggatgaa	cccgaatcta	atatcatatg	2580
gagtccatca	ttcaaatcct	ttatcgacta	ctgtctgaaa	aaagatagtc	gtgaacggcc	2640
atctccaaga	caaatgatca	atcatccttg	gataaagggt	caaatgaaaa	aaaatgtcaa	2700
tatggaaaaa	ttcgtgagga	agtgctggaa	agattaagtc	gaccctgagt	aaataagcga	2760
atttcttatg	atttatgatt	tttattatta	aataagttat	aaaaaaata	agtgtataca	2820
aattttaaag	tgactcttag	gttttaaaac	gaaaattctt	attcttgagt	aactctttcc	2880
tgtaggtcag	gttgctttct	caggtatagc	atgaggtcgc	tcttattgac	caccaccggg	2940
atcc						2944



(21) N.º solicitud: 201400935

22 Fecha de presentación de la solicitud: 21.11.2014

32 Fecha de prioridad:

INFORME SOBRE EL ESTADO DE LA TECNICA

(5) Int. Cl.: **C12N15/80** (2006.01) **C12Q1/25** (2006.01)

DOCUMENTOS RELEVANTES

Categoría	66)	Reivindicaciones afectadas	
Y	ES 2303452 A1 (UNIV. MADRID COMPLUTENSE) 01.08.2008, página 3, líneas 35-38; página 4, líneas 5-17; ejemplo 1; figura 1; reivindicaciones 1,10.		
Y	RODRIGUEZ-PEÑA, J.M. et al., ', JOURNAL OF BIOTECHNOLOG' (Print), Resultados y Discusión, Fig	1-14	
Y	WATANABE, Y. et al., 'Yeast RI function downstream of the Mpk1 (AND CELLULAR BIOLOGY, 1995 Materiales y Métodos; Resultados,	1-14	
A YASHAR, B. et al., 'Yeast MEK-dependent signal transduction: response thresholds and parameters affecting fidelity', MOLECULAR AND CELLULAR BIOLOGY, 1995, Vol. 15, No. 12, Páginas 6545-6553, ISSN: 0270-7306 (Print), todo el documento.			1-14
A STRAEDE, A. et al., 'The effect of tea tree oil and antifungal agents on a reporter for yeast cell integrity signalling', YEAST, 2007, Vol. 24, No. 4, Páginas 321-334, ISSN: 0749-503X (print), ISSN: 1097-0061 (electronic), todo el documento.			1-14
Α	JUNG, U.S. et al., 'Regulation of the MAP kinase', MOLECULAR MICRISSN: 0950-382X, todo el docume	1-14	
Α	WO 2004057033 A1 (ROSETTA IN todo el documento.	NPHARMATICS LLC.) 08.07.2004,	1-14
X: d Y: d n A: re	egoría de los documentos citados e particular relevancia e particular relevancia combinado con of nisma categoría efleja el estado de la técnica presente informe ha sido realizado para todas las reivindicaciones	de la solicitud E: documento anterior, pero publicado después o de presentación de la solicitud	
	de realización del informe 10.02.2015	Examinador J. L. Vizán Arroyo	Página 1/5

INFORME DEL ESTADO DE LA TÉCNICA Nº de solicitud: 201400935 Documentación mínima buscada (sistema de clasificación seguido de los símbolos de clasificación) C12N, C12Q Bases de datos electrónicas consultadas durante la búsqueda (nombre de la base de datos y, si es posible, términos de búsqueda utilizados) INVENES, EPODOC, WPI, BIOSIS, MEDLINE, EMBASE, EMBL-EBI

OPINIÓN ESCRITA

Nº de solicitud: 201400935

Fecha de Realización de la Opinión Escrita: 10.02.2015

Declaración

Novedad (Art. 6.1 LP 11/1986)

Reivindicaciones 1-14

Reivindicaciones NO

- · · · · ·

Actividad inventiva (Art. 8.1 LP11/1986)

Reivindicaciones 1-14

NO

Se considera que la solicitud cumple con el requisito de aplicación industrial. Este requisito fue evaluado durante la fase de examen formal y técnico de la solicitud (Artículo 31.2 Ley 11/1986).

Base de la Opinión.-

La presente opinión se ha realizado sobre la base de la solicitud de patente tal y como se publica.

Nº de solicitud: 201400935

1. Documentos considerados.-

A continuación se relacionan los documentos pertenecientes al estado de la técnica tomados en consideración para la realización de esta opinión.

Documento	Número Publicación o Identificación	Fecha Publicación
D01	ES 2303452 A1 (UNIV. MADRID COMPLUTENSE)	01.08.2008
D02	RODRIGUEZ-PEÑA, J.M. et al., <i>J. Biotechnol.</i> , (2008), <u>133(3)</u> : 311-7.	2008
D03	WATANABE, Y. et al., <i>Mol. Cell. Biol.</i> , (1995), <u>15</u> (10): 5740-9.	1995
D04	YASHAR, B. et al., <i>Mol. Cell. Biol.</i> , (1995), <u>15</u> (12): 6545-53.	1995
D05	STRAEDE, A. et al., <i>Yeast</i> , (2007), <u>24</u> (4): 321-34.	2007
D06	JUNG, U.S. et al., <i>Mol. Microbiol.</i> , (2002), <u>46</u> (3):781-9.	2002
D07	WO 2004057033 A1 (ROSETTA INPHARMATICS LLC.)	08.07.2004

En D01, D02, D05 - D07 se divulgan diferentes construcciones génicas para la detección de sustancias antifúngicas con actividad directa o indirecta sobre la pared celular.

En D03 y D04 se describe el mutante de la MAPK kinasa, MMK1, caracterizado por el cambio Ser386Pro (MKK1 S386P).

- 2. Declaración motivada según los artículos 29.6 y 29.7 del Reglamento de ejecución de la Ley 11/1986, de 20 de marzo, de Patentes sobre la novedad y la actividad inventiva; citas y explicaciones en apoyo de esta declaración
- 1. NOVEDAD (Art. 4.1. y Art. 6.1. de la Ley de Patentes).
- 1.1 Reivindicaciones independientes 1, 10 y 14.
- 1.1.1. El objeto de las reivindicación 1 consiste en una construcción génica que comprende (1) una secuencia promotora de un gen inducible por el factor de transcripción Rlm1 de la ruta de integridad celular de Saccharomyces cerevisiae, en particular la región promotora del gen YKL161c, (2) una secuencia de ADN cuya expresión da lugar a la proteína mutante MKK1^{S386P} y (3) una secuencia de terminación de la transcripción. La reivindicación 10 trata de un método para detectar compuestos antifúngicos que alteran la pared celular fúngica basado en la utilización de cepas de Saccharomyces cerevisiae portadoras de la construcción génica de la reivindicación 1. También se reivindica un kit para llevar a cabo dicho método que comprende las construcciones génicas de la reivindicación 1 (Reivindicación 14).

En el estado de la técnica más próximo, constituido por los documentos D01-D07, no se ha divulgado ninguna construcción génica ni método para la detección de sustancias antifúngicas con actividad sobre la pared celular con las características técnicas referidas.

- 1.2. La presente solicitud satisface el criterio establecido en el Art. 4.1. de la Ley de Patentes, pues el objeto de las reivindicaciones 1-14 es nuevo de acuerdo con el Art. 6.1. de la Ley de Patentes.
- 2. ACTIVIDAD INVENTIVA (Art. 4.1. y Art. 8.1. de la Ley de Patentes).
- 2.1. Reivindicaciones independientes 1, 10 y 14.
- 2.1.1. Los documentos D01-D03 constituyen el estado de la técnica más próximo. En D01-D02 se describe una construcción génica y un método para la detección de sustancias antifúngicas con actividad sobre la pared celular. En D03 se describen las propiedades fenotípicas de la mutación hiperactiva de MKK1, MKK1^{S386P}, que consiste en el cambio de Ser a Pro en la posición 386.
- 2.1.2. El problema técnico a resolver por el objeto de las reivindicaciones 1, 10 y 14 puede ser considerado, por consiguiente, como la provisión de nuevas construcciones génicas y nuevos métodos y kits para para la detección de sustancias antifúngicas.
- 2.1.3. El objeto de las reivindicación 1 consiste en una construcción génica que comprende (1) una secuencia promotora de un gen inducible por el factor RIm1 de *Saccharomyces cerevisiae*, en particular, la del gen *YKL161c*, (2) la secuencia de ADN codificante de la proteína mutante MKK1^{S386P} y (3) una secuencia de terminación de la transcripción. La reivindicación 10 trata de un método para la detección de sustancias antifúngicas con actividad sobre la pared celular basado en la aplicación de la construcción génica de la reivindicación 1. Además, se reivindica un kit que comprende la construcción génica de la reivindicación 14).

Nº de solicitud: 201400935

En los documentos D01-D02 se ha descrito y reivindicado una construcción génica caracterizada porque contiene un gen marcador cuya expresión está controlada por el promotor del gen *YKL161c* de *Saccharomyces cerevisiae*, en particular, dicho gen marcador es un gen de resistencia a un antibiótico. Además, en estos documentos se divulga un método de detección de sustancias antifúngicas con actividad sobre la pared celular basado en la sobreexpresión del gen marcador de dicha construcción génica inducida por una sustancia antifúngica (cf. D01: página 3, líneas 35 - 38; página 4, líneas 5 - 17; ejemplo 1, figura 1, reivindicaciones 1 y 10. D02: Resultados y Discusión, Figuras 1 y 2).

La diferencia técnica entre la construcción génica de la invención y la descrita en D01-D02 radica básicamente en el gen marcador empleado para la detección de sustancias antifúngicas. El uso del alelo MKK1^{S386P} en la invención se fundamenta en que la sobreexpresión de dicho alelo hiperactivo es letal para la célula (cf. página 6, líneas 25-29). Sin embargo, en D03 se describe la construcción plasmídica [GAL1p-*MKK*1^{S386P}] caracterizada porque la secuencia codificante del alelo *MKK*1^{S386P} está fusionada a la secuencia del promotor GAL1p inducible por galactosa. Dicha construcción plasmídica permite demostrar la fuerte inhibición del crecimiento celular causada por la sobreexpresión de *MKK*1^{S386P} (cf. D03: Materiales y Métodos; Resultados, Figura 1).

codificante del alelo <i>MKK</i> 1 ^{S386P} está fusionada a la secuencia del promotor GAL1p inducible por galactosa. Dicha construcción plasmídica permite demostrar la fuerte inhibición del crecimiento celular causada por la sobreexpresión de <i>MKK</i> 1 ^{S386P} (cf. D03: Materiales y Métodos; Resultados, Figura 1). Por consiguiente, se estima que, ante el problema técnico planteado, el experto en la materia combinaría las enseñanzas divulgadas en D01-D02 y D03 llegando como resultado a la solución propuesta en las reivindicaciones 1, 10 y 14 o a una equivalente. Por todo ello, se considera que las reivindicaciones 1, 10 y 14, y las reivindicaciones dependientes 2-9, 11-13 no son inventivas sobre la base de los documentos D01-D03.	
2.2. La presente invención no satisface el criterio establecido en el Art. 4.1. de la Ley de Patentes porque el objeto de la invención, definido en las reivindicaciones 1-14 no implica actividad inventiva de acuerdo con el Art. 8.1. de la Ley de Patentes.	